

ПРОЧНОСТЬ,  
УСТОЙЧИВОСТЬ  
И КОЛЕБАНИЯ  
ТОНКОСТЕННЫХ КОНСТРУКЦИЙ  
ЛЕТАТЕЛЬНЫХ АППАРАТОВ

Тематический сборник научных трудов института

## СОДЕРЖАНИЕ

Предисловие.....	3
Плихунов В.В. К расчету на прочность пластинчатых элементов конструкций.....	6
Жеков К.А. Расчет конструкций, приводящихся к изгибу пластин на упругом основании, имеющим вырез.....	10
Рафаилов А.Г., Костриченко А.Б., Угненко И.Г. Использование метода конечных элементов в анализе несущей способности элементов конструкций типа подкрепленных пластин, ослабленных отверстием.....	15
Лурье С.А. Об изгибе пластин, частично защемленных по краю.....	20
Матюшев Ю.С., Шклярчук Ф.Н. Уравнения тонкостенного кругового шлангоута.....	24
Булычев Л.А. Расчет на прочность регулярного шлангоута переменной жесткости.....	28
Антуфьев Б.А. К расчету оболочечной конструкции, находящейся под действием локальных температурных полей.....	32
Морозов В.С. О бифуркации напряженного состояния локально нагретой оболочечной конструкции.....	36
Власов В.В., Бокучава М.Б. Расчет цилиндрических оболочечных конструкций на сосредоточенные нормальные нагрузки, передающиеся через упругий шлангоут.....	40
Кузьмин В.В. К расчету на прочность конических отсеков корпуса.....	45
Дудченко А.А., Инфлянскас В.В. Об определении остаточных напряжений и деформаций в элементах конструкций, выполненных из композиционного материала с металлической матрицей.....	51

Елпатьевский А.Н., Велов П.А. Расчет подкрепленных панелей со стрингерами, усиленными жгутами из высокомодульного материала.....	55
Коновалов Б.А., Свердлов А.И. Несущая способность корпуса, выполненного из композиционного материала и имеющего дефект.....	59
Каплун А.В., Мельников Б.Е. Акустическая эмиссия и кинетика роста трещин в элементах конструкций из алюминиевого сплава 1201.....	63
Сомольский В.М. К оценке времени до разрушения элемента конструкции при нецентрированном случайному нагружении	69
Мовчан А.А. О расчете на ресурс элементов конструкций, подверженных малоцикловому деформированию со сдвигом фаз	72
Михеев Р.А. К вопросу оптимизации розеток тензорезисторов, используемых при экспериментальных исследованиях	76
Дворников А.Г. Оценка влияния погрешностей нагружения на определение напряжений в натурных конструкциях	80

РАСЧЕТ ПОДКРЕПЛЕННЫХ ПАНЕЛЕЙ  
СО СТРИНГЕРАМИ, УСИЛЕННЫМИ ЖГУТАМИ ИЗ ВЫСОКОМОДУЛЬНОГО МАТЕРИАЛА

В работе рассматривается вопрос оптимального проектирования панели крыла, подкрепленной стержнями открытого профиля со жгутами из высокомодульного материала (ВКМ) (рис.1), работающей на сжатие. Допускается местная потеря устойчивости обшивки панели.

В этом случае расчетные параметры панели будут определяться из задачи прочности и задач устойчивости, которых может быть три: общая потеря устойчивости панели, крутильная форма потери устойчивости стрингера (рис.2) и местная потеря устойчивости стенки стрингера как пластинки.

Общая потеря устойчивости панели хорошо изучена [1], [2] и не рассматривается. Крутильная форма потери устойчивости стрингера обладает особенностями, связанными с тем, что подкрепляющая стрингер обшивка панели фиксирует ось его вращения. Поэтому простейшей расчетной схемой стрингера, способной описать кручение с фиксированной осью вращения, является тонкостенный стержень с учетом его деформации сдвига. За расчетную схему местной потери устойчивости стенки стрингера берется пластина, шарнирно опиралася по "несмешающимся" ребрам, так как моментами, действующими со стороны стрингера и обшивки панели, можно пренебречь.

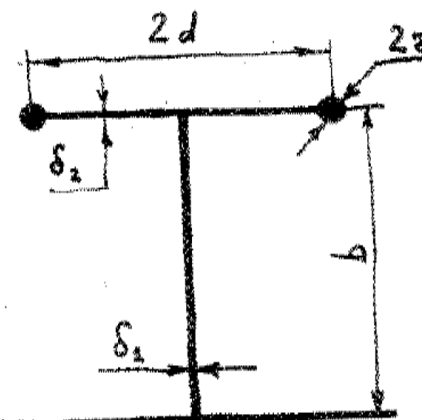


Рис.1

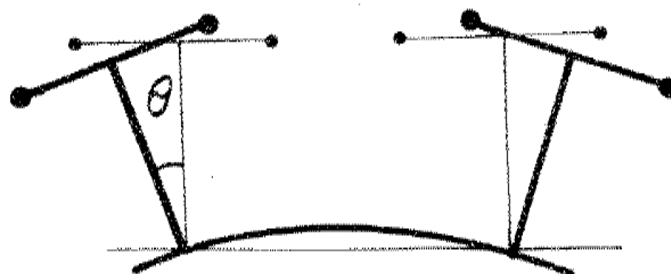


Рис.2

Для изучения этих форм используется общий вариационный метод В.З. Власова [2]. За основные неизвестные принимаются: осевое перемещение  $U(z,s)$ , контурное перемещение  $V(z,s)$  и местные прогибы  $W(z,s)$ . Перемещения определяются в виде

$$\begin{cases} U(z,s) = U(z)\varphi(s); \\ V(z,s) = V(z)\psi(s); \\ W(z,s) = W(z)\chi(s), \end{cases} \quad (1)$$

где  $U(z)$ ,  $V(z)$  и  $W(z)$  – искомые функции депланации, кручения и местных прогибов;  $\varphi(s)$ ,  $\psi(s)$  и  $\chi(s)$  – соответствующие выбираемые функции распределения перемещений.

Далее, в рамках общего вариационного метода В.З. Власова используются две модели: модель плоского напряженного состояния и модель с несмешаемыми ребрами.

В первой модели принимается постоянное по толщине пластин распределение напряжений, следствием чего является недеформируемость контура поперечного сечения. Для этой модели уравнения устойчивости имеют вид

$$\begin{aligned} f a_{II} U'' - b_{II} U - c_{II} V' &= 0; \\ c_{II} U' + r_{II} \left( 1 - \frac{P}{\partial F} \right) V'' &= 0, \end{aligned} \quad (2)$$

где  $P$  – сжимающая стержень сила;  $F$  – полная редуцированная по металлу площадь;  $f = \frac{E}{G}$  – отношение модулей упругости;

$$a_{II} = \int \varphi^2 \delta ds - b^2 d^2 \left( \frac{2\delta_2 d}{3} + 2 \frac{E_*}{E} R r^2 \right) + \frac{\pi b^2 E_*}{R} r^4;$$

$$b_{II} = \int (\varphi')^2 \delta ds - 2\delta_2 d b^2 + 2\pi b^2 \frac{G_*}{G} r^2;$$

$$c_{II} = \delta \psi \varphi' \delta ds = -b_{II};$$

$$r_{II} = \int \psi^2 \delta ds = b_{II},$$

$E_*$ ,  $G_*$ ,  $R$  – модули и радиус жгута.

Чтобы учесть деформируемость поперечного сечения стержня, привлекается модель с несмешаемыми ребрами [2]. Согласно этой модели, линии соединения пластин, составляющие стержень, фиксируются в положениях, занимаемых в соответствии с уравнениями равновесия стержня с недеформируемым контуром. После фиксации ребер стержня контур поперечного сечения наделяют способностью деформироваться как систему пластинок, шарнирно опертых по "несмешаемым" ребрам.

Для этой модели уравнение устойчивости имеет вид

$$AW'' + (N - 2B)W' + CW = 0, \quad (3)$$

где

$$A = D \int \chi^2 ds = \frac{D b}{\rho};$$

$$B = D \int (\chi')^2 ds = \frac{\pi^2 D}{2b};$$

$$C = D \int (\chi'')^2 ds = \frac{\pi^2 D}{2b^3};$$

$$N = \frac{P^*}{b} \int \chi^2 ds = \frac{P^*}{\rho},$$

$P^*$  — сжимающая стенку сила;

$D = \frac{E \delta_1^5}{12}$  — цилиндрическая жесткость стенки стрингера.

Пусть граничные условия на концах стержня таковы, что решение (2)-(3) в виде

$$U(x) = U_0 \cos \pi n \frac{x}{L}; \quad V(x) = V_0 \sin \pi n \frac{x}{L}; \quad W(x) = W_0 \sin \pi m \frac{x}{L}.$$

удовлетворяет всем граничным условиям. Подставляя эти выражения в систему (2)-(3) и приравнивая к нулю определитель получаемой алгебраической системы, можно получить выражения для критических сил на местную потерю устойчивости (МПУ) и на кручение, причем

$$P_{\text{кр.мин}}^{\text{МПУ}} = \frac{\pi^2}{3} E F \left( \frac{\delta_1}{b} \right)^2; \quad (4)$$

$$P_{\text{кр.мин}}^{\text{круч}} = \frac{\pi^2 E F}{L^2} \frac{\left[ \frac{\pi}{2} \frac{E_s}{E} r^4 + 2d^2 \left( \frac{\delta_2 d}{3} + \frac{E_s}{E} \pi r^2 \right) \right]}{2 \left( \delta_2 d + \frac{G_s}{G} \pi r^2 \right)}. \quad (5)$$

Из формул (4) и (5) следует, что для длинных стержней ( $L \gg d$ ) определяющей будет крутильная форма потери устойчивости. Сравним ее с общей потерей устойчивости панели. После потери устойчивости обшивки панель будет работать как система стержней с присоединенной к ним работающей частью обшивки. Пусть  $P$  — сжимающая каждый стержень сила. Покажем, что при  $d=0$  критическая сила на кручение будет ниже, чем критическая сила на общую потерю устойчивости. Действительно, обычно радиус жгута  $r$  и высота стенки  $b$  выбираются из условий прочности и общей устойчивости, откуда следует, что  $2\pi r^2 \frac{E_s}{E} =$  (площади присоединенной обшивки), а центр тяжести редуцированного сечения лежит в середине высоты стенки, отсюда

(для  $d = 0$ )

$$P_{\text{крит}}^{\text{одн. п.}} = \frac{\pi^2}{L^2} \left[ E \delta_1 \frac{b^3}{12} + E_* b^2 \pi r^2 + E_* \frac{\pi r^4}{2} \right].$$

Выясним, при каком соотношении  $\frac{r}{b}$ ;  $P_{\text{одн. п.}}^{\text{одн. п.}} \geq P_{\text{крит}}$ , т.е.

$$\frac{\pi^2}{L^2} \left[ E \delta_1 \frac{b^3}{12} + E_* b^2 \pi r^2 + E_* \frac{\pi r^4}{2} \right] \geq \frac{\pi^2}{L^2} \left( \delta_1 b + 2 \frac{E_*}{E} \pi r^2 \right) \frac{E_* G_*}{4G_*} r^2$$

или

$$\left( \frac{E_* G_*}{E G_*} - 1 \right) \left( \frac{r}{b} \right)^2 - 2 \left( 1 - \frac{G \delta_1}{4 \pi G_* b} \right) \left( \frac{r}{b} \right)^2 - \frac{E \delta_1}{6 \pi E_* b} \leq 0. \quad (6)$$

При  $\frac{E_* G_*}{E G_*} - 1 \leq 0$  неравенство (6) справедливо всегда, а при  $\frac{E_* G_*}{E G_*} - 1 > 0$

$$\left( \frac{r}{b} \right)^2 \left( 1 - \frac{G \delta_1}{4 \pi G_* b} \right) + \sqrt{\left( 1 - \frac{G \delta_1}{4 \pi G_* b} \right)^2 + \frac{E \delta_1}{6 \pi E_* b} \left( \frac{E_* G_*}{E G_*} - 1 \right)} \\ \left( \frac{E_* G_*}{E G_*} - 1 \right)$$

Пренебрегая членами  $\frac{G \delta_1}{4 \pi G_* b}$  и  $\frac{E \delta_1}{6 \pi E_* b}$ , малыми в сравнении с 1, получаем

$$\left( \frac{r}{b} \right)^2 \leq \frac{2}{\left( \frac{E_* G_*}{E G_*} - 1 \right)}. \quad (7)$$

Для реальных конструкций  $\left( \frac{E_* G_*}{E G_*} - 1 \right)$  порядка единицы, поэтому при проектировании панели, подкрепленной рассмотренными выше стержнями, не будет реализовываться заложенная в нее цилиндрическая жесткость, так как исчерпание несущей способности панели будет обусловлено крутильной, а не изгибной формой потери устойчивости стрингеров.

Таким образом показано, что требование равной прочности и общей устойчивости не достаточно для проектирования оптимальных панелей. Поэтому для оптимального проектирования панелей, подкрепленных стрингерами открытого профиля со жгутами из ВКМ, необходимо выбирать как минимум  $T$ -образные подкрепляющие стержни, обладающие тремя параметрами  $d$ ,  $b$ ,  $r$ , определяемыми из условий равной прочности и устойчивости по общей и крутильной формам.

#### ЛИТЕРАТУРА

- 1. В о ль м и р А.С. Устойчивость деформированных систем.  
- М.: Наука, 1967.
- 2. В л а с о в В.З. Тонкостенные пространственные системы.  
- М.: Госстройиздат, 1958.